



UNIVERSIDAD DE CONCEPCIÓN

FACULTAD DE CIENCIAS FÍSICAS Y MATEMÁTICAS

## LABORATORIO 4

*Proyecto laboratorio termodinámica*

Autores:

Martina Contreras, Noemí De La Peña, Benjamín Opazo.

Profesor:

Juan Pablo Staforelli

Carrera:

Ciencias físicas

Ayudante:

Fernanda Paz Vera

Noviembre 2022

# Índice

<b>1. Introducción</b>	<b>2</b>
<b>2. Marco teórico</b>	<b>2</b>
<b>3. Materiales</b>	<b>4</b>
<b>4. Procedimiento Experimental</b>	<b>5</b>
<b>5. Análisis</b>	<b>6</b>
<b>6. Conclusión</b>	<b>6</b>

## 1. Introducción

- Conocer el funcionamiento de un osciloscopio.
- Conocer el funcionamiento de un generador de señales alternas.
- Aprender a medir voltaje y tiempo con osciloscopio.
- Comprobar experimentalmente las ecuaciones de carga y descarga de condensadores. *Circuito RL*
- Comprobar experimentalmente las ecuaciones de conexión y desconexión de bobinas de autoinducción. *Circuito RC*
- Obtener oscilaciones de carga y medir la frecuencia propia del sistema oscilante. *Circuito RLC*

## 2. Marco teórico

### 1. Características de ondas de voltaje y corriente alternas sinusoidales.

Consideremos las siguientes definiciones:

- $v(t) = V_m \sin(\omega t)$ : valor instantáneo de voltaje alterno sinusoidal,
- $i(t) = I_m \sin(\omega t)$ : valor instantáneo de corriente alterna sinusoidal,
- $V_m$ : amplitud o valor máximo de la onda de voltaje,
- $I_m$ : amplitud o valor máximo de la onda de corriente,
- $\omega = 2\pi f$ ,
- $f = \frac{1}{T}$ : frecuencia de oscilación,
- $T$ : período de la alternancia.

Para comparar valores de voltaje y corriente continuos con los correspondientes alternos se definen los llamados valores efectivos. El valor efectivo de un voltaje o una corriente alterna, resulta de igualar la energía eléctrica de corriente continua con la energía eléctrica de corriente alterna, cuando ambas se transforman en calor  $Q$  en una misma resistencia  $R$ . Si la comparación se efectúa durante un lapso de tiempo igual a un periodo  $T$ , se tendrá la igualdad:

$$Q_{cc}(R, T) = Q_{ca}(R, T)$$

Cantidades que se pueden expresar en términos del voltaje aplicado sobre  $R$  o de la corriente que circula por  $R$ . Así, para el primer caso, se tiene:

$$\frac{V^2}{R}T = \int_0^T \frac{v^2(t)}{R} dt \Rightarrow V = \left( \frac{1}{T} \int_0^T V_m^2 \sin^2(\omega t) dt \right)^{1/2}$$

de donde  $V = \frac{1}{\sqrt{2}} V_m$ : voltaje efectivo y para la corriente:

$$I^2 RT = \int_0^T i^2(t) R dt \Rightarrow I = \left( \frac{1}{T} \int_0^T I_m^2 \sin^2(\omega t) dt \right)^{1/2}$$

De donde  $I = \frac{1}{\sqrt{2}} I_m$ : corriente efectiva.

Los instrumentos medidores de voltaje y corriente alternos están calibrados para medir valores efectivos.

### 2. Circuitos RC, RL, RLC en condición transitoria.

#### a) Circuito RC

Para el circuito de la figura 1 y a partir del instante ( $t = 0$ ) de conexión de  $S$  en 1, estando  $C$  completamente cargado ( $q = 0$ ), la ecuación diferencial y su solución para la carga  $q(t)$  se escriben

$$\frac{dq}{dt} + \frac{q}{RC} = \frac{V_0}{R} \Rightarrow q(t) = V_0 C (1 - e^{-\frac{t}{RC}})$$

de donde resultan los voltajes  $v_C(t)$  en el condensador y  $v_R(t)$  en el resistor, siguientes:

$$v_C(t) = \frac{q(t)}{C} = V_0(1 - e^{-\frac{t}{RC}})$$

$$v_R(t) = \frac{i(t)}{R} = R \frac{dq}{dt} = V_0(1 - e^{-\frac{t}{RC}})$$

Cuando  $C$  ha alcanzado el estado estacionario ( $t \rightarrow \infty$ ), su carga ha llegado al valor  $Q = V_0C$ . Se cambia ahora  $S$  a la posición 2 para efectuar la descarga de  $C$ . Al quedar excluida la fuente  $V_0$ , la ecuación diferencial y su solución, resultan ser:

$$\frac{dq}{dt} + \frac{q}{RC} = 0 \Rightarrow q(t) = V_0C(1 - e^{-\frac{t}{RC}})$$

entonces:

$$v_C(t) = V_0 e^{-\frac{t}{RC}}$$

$$v_R(t) = -V_0 e^{-\frac{t}{RC}}$$

#### b) Circuito RL

En el circuito de la figura 2, al cerrar  $S$  en 1 se obtiene la ecuación diferencial para la conexión de  $L$ . La ecuación y su solución resultan:

$$\frac{di}{dt} + \frac{R}{L}i = \frac{V_0}{L} \Rightarrow i(t) = \frac{V_0}{R}(1 - e^{-\frac{R}{L}t})$$

desde donde:

$$v_L(t) = L \frac{di}{dt} = V_0 e^{-\frac{R}{L}t}$$

$$v_R(t) = i(t)R = V_0(1 - e^{-\frac{R}{L}t})$$

Al cambiar el interruptor  $S$  de 1 a 2, se inicia la etapa de desconexión de  $L$ , con ecuación diferencial y solución dadas por:

$$\frac{di}{dt} + \frac{R}{L}i = 0 \Rightarrow i(t) = \frac{V_0}{R} e^{-\frac{R}{L}t}$$

entonces:

$$v_L(t) = L \frac{di}{dt} = -V_0 e^{-\frac{R}{L}t}$$

$$v_R(t) = i(t)R = V_0 e^{-\frac{R}{L}t}$$

c) **Circuito RLC** En el circuito de la figura 3 (a), el condensador  $C$  se encuentra cargado con carga  $Q$  y la energía total  $U_C = \frac{Q^2}{2C}$ . Al cerrar el interruptor  $S$ , el condensador iniciará la descarga y con todo ello un proceso de intercambio de energía entre  $C$  y  $L$ . La energía total distribuida en todo momento en  $L$  y en  $C$ , irá decreciendo debido a las pérdidas por efecto de calor disipado en  $R$ , todo lo cual se expresa por la ecuación:

$$\frac{d}{dt} \left( \frac{q^2}{2C} + \frac{Li^2}{2} \right) = -i^2 R$$

que resulta en la ecuación diferencial:

$$L \frac{d^2}{dt^2} q + R \frac{dq}{dt} + \frac{q}{C} = 0$$

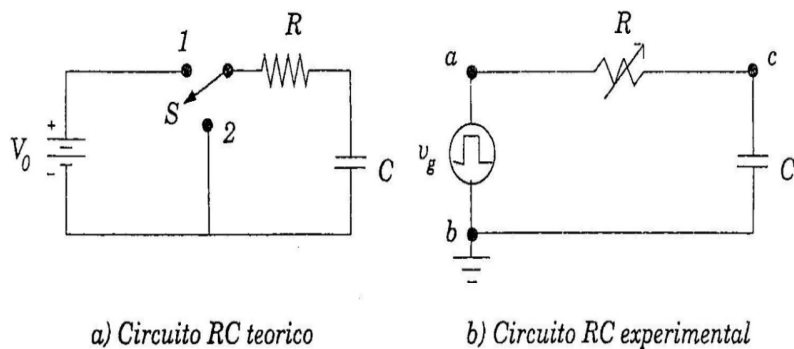


Figura 1: Circuito RC

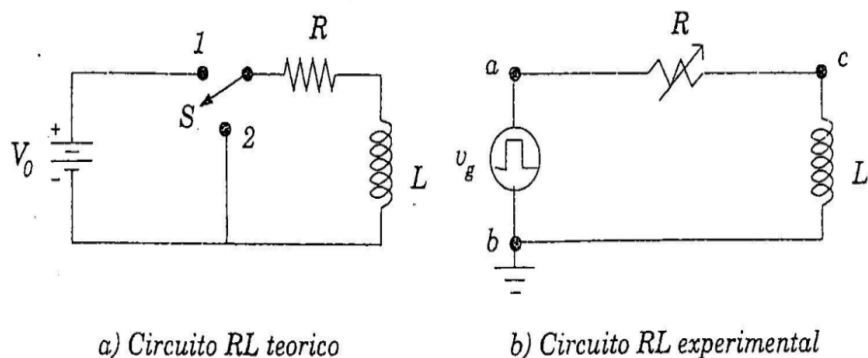


Figura 2: Circuito RL

y su solución oscilatoria:

$$q(t) = Q^{-\frac{R}{2L}t} \cos(w't + \phi),$$

con

$$w' = \left( w^2 - \left( \frac{R}{2L} \right)^2 \right)^{1/2}$$

y  $w = \frac{1}{\sqrt{LC}}$ , así el voltaje instantáneo en el condensador,  $V_c(t)$ , tiene la expresión:

$$V_c(t) = \frac{q(t)}{C} = \frac{Q^{-\frac{R}{2L}t} \cos(w't + \phi)}{C}$$

que corresponde a una oscilación amortiguada exponencialmente.

### 3. Materiales

- 1 osciloscopio con 2 puntas de prueba,
- 1 generador de señal,
- 1 caja de resistencias décadas,
- 1 caja de condensadores décadas,
- 1 bobina de 600 vueltas,
- 1 transformador de 200/6volt,
- 6 conexiones.

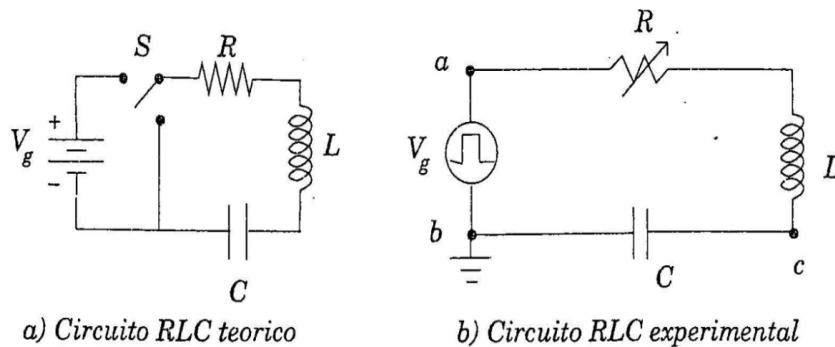


Figura 3: Circuito RLC

## 4. Procedimiento Experimental

### Parte 2: Circuitos RC, RL, RLC, en estado transitorio.

#### Circuito RC

1. Procedemos a realizar el montaje del circuito experimental de la figura 1 (b), en el cual  $R$  se asigna desde la caja resistencias décadas, por ej.  $1K\Omega$ ;  $C$  se asigna desde la caja de condensadores décadas, por ej.  $0,1\mu F$  y  $v_g$  corresponde a la señal de salida del generador, con forma rectangular y frecuencia apropiada, por ej.  $1KHz$ .
2. Para observar  $v_e(t)$  (voltaje sobre el condensador), se conecta la punta activada CH1 del osciloscopio al punto  $c$ , del circuito; se regulan los controles de base de tiempo y niveles de ganancia, hasta observar en forma nítida la gráfica  $v_e(t)vst$ . Para efectos de comparar y observar relación causa-efecto se utiliza el segundo canal (CH2) del osciloscopio conectado directamente a la salida del generador de señal y así tener a la vista el voltaje  $v_g(t)vst$  que se está aplicando al circuito.
3. Mediante un manejo eficiente de los controles de barrido del osciloscopio y frecuencia del generador de señal se puede observar el efecto y significado de la constante de tiempo  $\tau_C = RC$ . Una vez hechos los ajustes y optimizada la visualización, se hacen las medidas.
4. Para observar  $v_R(t)$  o voltaje en la resistencia, que en realidad es una muestra de cómo varía la corriente  $i(t)$  en la carga y en la descarga del condensador ya que  $v_R(t) = i(t)R$ , todo lo que hay que hacer es intercambiar las conexiones que van desde el circuito a la salida del generador de señal en  $a$  y  $b$ , de esta manera, un extremo de  $R$  quedará a tierra. Nos aseguramos que la punta activa de CH2 siga estando en la salida  $a$  del generador y la de CH1 en  $c$ .

#### Circuito RL.

1. Armamos el circuito de la figura 2 (b,) donde del condensador  $C$  del circuito anterior se debe reemplazar por una bobina de 600 vueltas y autoinducción  $L = 9mH$ .
2. Para efectos de control y buena visualización de  $v_L(t)$  y  $v_R(t)$ , conviene ajustar  $R$  en 300 y usar frecuencia de  $3KHz$  en el generador de señal. La mejor visualización se logra reajustando el control de frecuencia.
3. En lo que sigue, se repiten los pasos 2, 3 y 4 de la parte anterior, con la diferencia de que lo observado es ahora  $v_L(t)$ , en vez de  $v_C(t)$  en 2, así como la constante de tiempo en 3 es ahora  $\tau_L = L/R$ .

#### Circuito RLC. Oscilaciones amortiguadas. Observación y medición.

1. Se arma el circuito de la figura 3 (b) con  $R = 200\Omega$ ,  $C = 0,01\mu F$  y  $L = 9mH$  (bobina de 600 vueltas). Utilizamos solamente CH1 conectada en  $c$  para visualizar  $v_C(t)$  donde se observarán las oscilaciones.
2. Medimos el período de las oscilaciones amortiguadas,  $T'$ , para obtener  $w' = \frac{2\pi}{T'}$ , esta se comparará con el valor teórico:

$$w' = \left( w^2 - \left( \frac{R}{2L} \right)^2 \right)^{1/2}$$

## 5. Análisis

## 6. Conclusión

## Referencias

- [1] Medidas de voltaje: Guía. (s. f.). NI. Recuperado 4 de noviembre de 2022, de <https://www.ni.com/es-cl/support/documentation/supplemental/21/how-to-measure-voltage.html>
- [2] Corriente eléctrica y materiales conductores. (2014, 5 septiembre). RedUSERS. <https://www.redusers.com/noticias/corriente-electrica-y-materiales-conductores/>
- [3] **D. Halliday; R. Resnick; K. S. Kane.** *Física Vol. 2.* (Cap.32), Compañía Editorial Continental, S.A. de C.V. 3ª Edición, 1994
- [4] Circuito Eléctrico: Historia. (s. f.). Recuperado 4 de noviembre de 2022, de [https://www.profesorenlinea.cl/mediosocial/Circuito\\_ElectricoHistoria.htm](https://www.profesorenlinea.cl/mediosocial/Circuito_ElectricoHistoria.htm)